Vol. 57 No. 5 Oct. 2025

DOI:10.16356/j.1005-2615.2025.05.020

FADEC 软件需求形式化建模与测试用例 生成的实例研究

董泽华¹,胡 军¹,沈翔宇²,熊 波²,董亚炯¹,戴嘉磊¹ (1.南京航空航天大学计算机科学与技术学院,南京 211106; 2.中国航发控制系统研究所,无锡 214000)

摘要:研发具有安全关键特征的全权限数字化发动机控制(Full authority digital engine control, FADEC)软件是当前大飞机航空发动机控制系统研制的重要任务。本文工作面向大飞机FADEC软件研发中的需求分析与测试挑战,基于变量关系模型(Variable relation model, VRM)提出了对条目化自然语言描述的FADEC软件需求形式化建模、分析和基于模型测试用例生成的技术方法,并对FADEC中启动燃油控制软件(Start fuel control, SFC)功能实例进行了研究。研究包括对FADEC自然语言需求文档开展结构化预处理,生成领域概念库;通过需求规范化生成形式化建模框架;基于变量关系模型开展多范式的分析;基于需求模型自动生成测试用例;对FADEC需求建模分析中的领域特征问题进行总结分析等。本文对FADEC软件需求提供了建模与测试的工程经验。

关键词:计算机软件与理论;机载软件形式化建模;变量关系模型;自然语言需求建模;测试用例自动生成中图分类号:TP311.5 文献标志码:A 文章编号:1005-2615(2025)05-0999-14

Case Study on Formal Modeling and Test Case Generation for FADEC Software Requirements

DONG Zehua¹, HU Jun¹, SHEN Xiangyu², XIONG Bo², DONG Yajiong¹, DAI Jialei¹
(1. College of Computer Science and Technology, Nanjing University of Aeronautics & Astronautics, Nanjing 211106, China;
2. AECC Aero Engine Control System Institute, Wuxi 214000, China)

Abstract: The development of full authority digital engine control (FADEC) software, characterized by its safety-critical nature, is a pivotal task in advancing control systems for large aircraft aero-engines. This study tackles key challenges in requirement analysis and testing encountered during FADEC software development. It introduces a formal modeling method based on the variable relation model (VRM) for specifying FADEC software requirements that are initially described in itemized natural language. The work further investigates techniques for automatically generating test cases from the resulting requirement model and demonstrates the entire approach through a functional case study based on the start fuel control (SFC) software within a FADEC system. The methodology encompasses: The structured preprocessing of natural language requirements to build a domain concept repository; the establishment of a formal modeling framework through requirement standardization, the mmulti-paradigm analysis using the VRM, the automated test case generation, and a critical analysis of domain-specific challenges in FADEC requirement modeling and validation. This paper provides engineering experience for modeling and test of FADEC software require ments.

基金项目:国家自然科学基金和"叶企孙"联合基金重点项目(U2241216;Y2022-V-0001-0027)。

收稿日期:2025-05-19;修订日期:2025-09-07

通信作者:胡军,男,副教授,E-mail:hujun@nuaa.edu.cn。

引用格式:董泽华, 胡军, 沈翔宇, 等. FADEC 软件需求形式化建模与测试用例生成的实例研究[J]. 南京航空航天大学学报(自然科学版),2025,57(5):999-1012. DONG Zehua, HU Jun, SHEN Xiangyu, et al. Case study on formal modeling and test case generation for FADEC software requirements[J]. Journal of Nanjing University of Aeronautics & Astronautics(Natural Science Edition),2025,57(5):999-1012.

Key words: computer software and theory; formal modeling for airborne system; variable relation model (VRM); natural language requirement modeling; automatic test case generation

航空发动机是现代飞行器的核心系统之一。图1展示了航空发动机的控制方式已经从液压机械控制、电子系统控制发展到现在主流的全权限数字化发动机控制(Full authority digital engine control, FADEC)^[1]。FADEC 的重要特征是通过计算机软件对发动机的功能与性能进行数字化精确控制。目前国际上大型飞机的发动机控制系统均采用FADEC方式来实现诸如余度管理、智能管理和架构冗余等先进功能,其软件系统复杂度呈快速增长趋势,这对研制现代FADEC软件系统并保证其满足航空领域的高安全性要求带来了重要挑战^[2-3]。

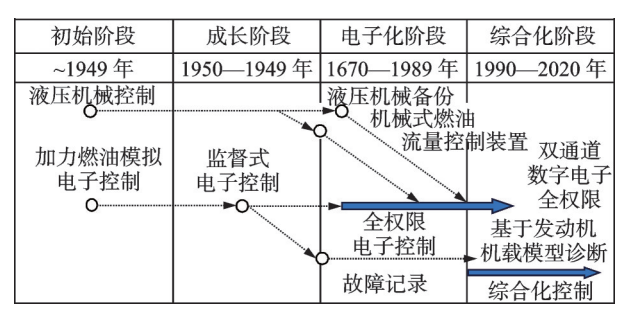


图1 发动机控制阶段发展

Fig.1 Development stages of engine control

民用大飞机中的FADEC软件需要通过适航 安全符合性认证,即FADEC软件系统的研制必须 满足国际机载软件适航标准RTCA DO-178C《机 载系统和设备合格审定中的软件考虑》[45]。 DO-178C 标准的核心要点在于以机载软件的需求 为核心,展开机载软件研发的各类任务,如:软件测 试验证活动中必须包括基于需求的测试用例设计 和执行验证等。DO-178C中还对基于形式化方法 的机载软件分析与验证技术给出了明确的要求,即 DO-333标准[6-9]。计算机科学领域中的形式化方 法具备在工程领域提升机载软件安全性的能 力[10],但是如何应用形式化方法理论,并结合实际 FADEC应用领域来形成航空工程中适用且有效 的方法和工具,以对FADEC软件应用需求进行构 造、分析与验证,在国内外仍然都是一个非常大的 挑战。

基于模型的系统工程(Model-based system engineering, MBSE)^[11-12]是面向复杂系统研制工程的一种系统建模、分析与验证的方法学。在DO-178C的附加适航标准DO-331^[13-14]中也给出了MBSE方法在航空领域中应用的要求,其基本思想

是通过对复杂机载软件研制过程中的各类阶段制品(如:软件需求、软件设计等)进行多层级建模,使得系统能够基于各类软件模型展开功能以及安全性方面的分析与验证,以尽早在软件研制早期发现潜在的缺陷错误,并且还能为应用严格的形式化方法和测试用例的自动生成提供良好的软件系统模型。

本文工作面向大飞机 FADEC 软件系统的测试验证问题,采用关系变量模型(Variable relation model, VRM)^[15-17]对一些典型的 FADEC 软件需求进行形式化表格的建模,提出了一个对 FADEC 软件需求形式化建模、分析到基于模型测试用例生成的技术框架;开展了实例分析研究,且提炼了对 FADEC 软件需求进行建模与测试的工程经验。

1 背景知识

1.1 发动机控制系统的数字化发展

基于技术演进的维度,航空发动机控制系统在过去的几十年中经历了非常大的发展和变化,其系统控制变量从20世纪40年代的单一参数发展到当代变循环发动机的数十个参数体系[18];系统架构从液压机械控制升级为以发动机控制软件为核心的FADEC双通道数字化控制方式,并在软件功能层面实现了解析余度、伺服回路判故等先进技术;目前正在朝着深度数字化的"智能多电"架构发展[19-20]。高安全高可靠发动机控制软件的研发已经成为现代航空发动机技术快速发展的核心任务之一。

FADEC 系统的核心架构采用双通道冗余容错设计,如图 2 所示。主控通道与热备通道在独立运行状态下通过共享式故障切换模块实现协同工作。当主控通道触发实时故障检测机制时,系统执行无扰动通道切换逻辑,将控制权移交至热备通道,同时启动内置测试设备对故障通道实施诊断与恢复操作。该架构通过通道级冗余设计与无缝切换机制,保障航空动力控制系统的高可靠性运行。

双通道冗余架构的形式化建模需解决多源信号协同处理与容错逻辑验证等关键问题。在信号采集阶段,控制模块需对双通道输入的异构数据实施实时仲裁与有效性表决;当单通道发生信号失效时,系统需在时间窗内完成健康通道无缝切换并激活故障通道的自修复流程。

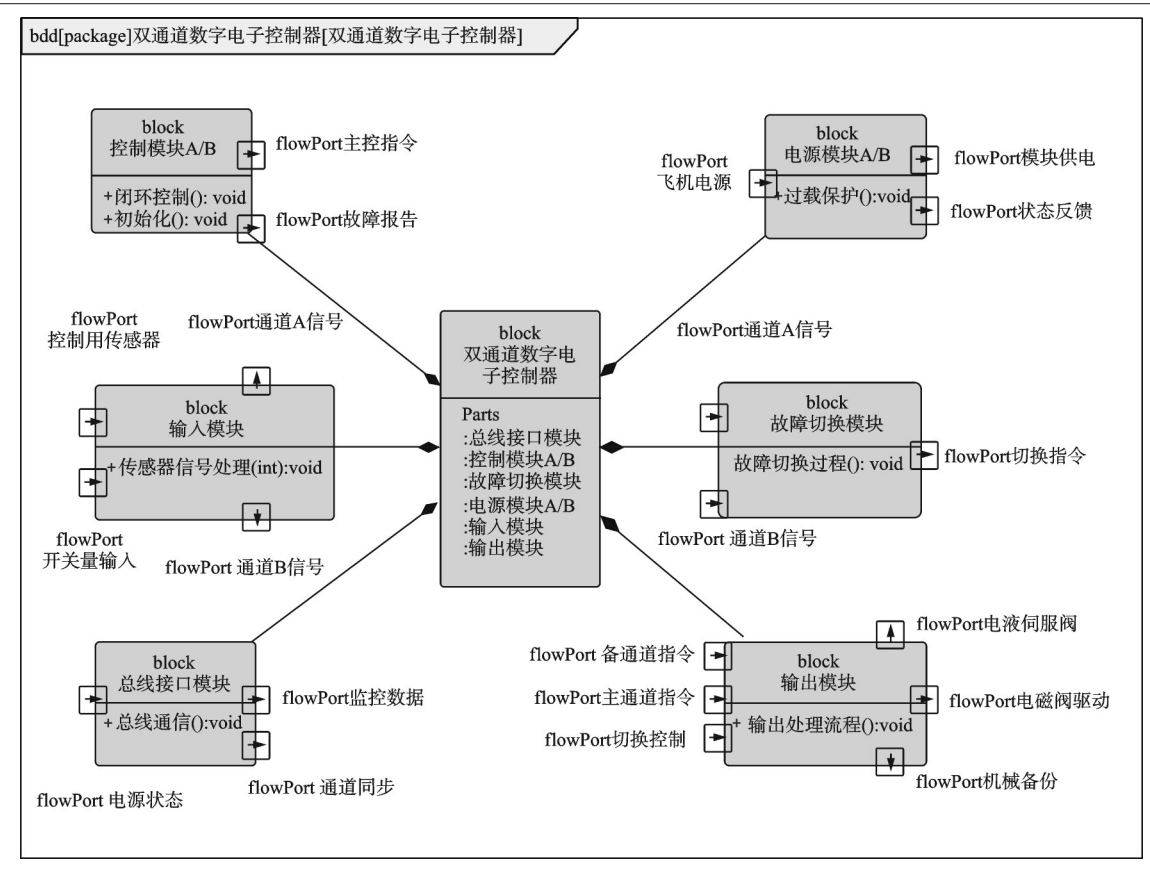


图 2 双通道数字电子控制器组成结构

Fig.2 Composition structure of dual-channel digital electronic controller

1.2 VRM形式化需求建模与分析

基于模型的形式化验证领域中有很多形式化 方法,但是大部分方法采用符号和逻辑公式来描述 形式化模型,不熟悉形式化符号的工程人员难以有 效地应用这些形式化方法。因此,本文采用了一种 表格化的形式化变量关系需求模型 VRM[15-17]来对 FADEC控制软件的需求进行建模分析与测试用 例生成。VRM模型基于航空领域工程人员经常 使用的二维表格关系,同时具备严格的形式化语 义,在工程实践中已逐步被领域工程人员理解和应 用。VRM模型来源于四变量模型[21]和需求状态 机语言(Requirement state machine language, RSML)[22],其形式化语法和语义定义参见文献 [23-26]。在前期相关的研究工作中,本文研究团 队已经构建了一个以VRM形式化模型为核心的 软件需求建模分析与验证的软件工具 ART [16-17,23-24]。ART 面向航空机载的安全关键软 件需求,简化了四变量模型中的监视变量和控制变 量集合,引入中间变量对模型进行分层处理[23],融 合了RSML语言中的and-or表格表达范式,可以将 复杂的谓词逻辑关系以二维表格形式描述,并实现 了需求模型分析验证的核心算法群。本文工作是 在ART平台的基础上,研究FADEC软件需求里

与发动机控制相关的双通道表决、信号重构等领域特征,扩展 VRM 领域建模的方法和能力,使得ART工具能够有效地处理 FADEC 需求建模和测试用例生成。

2 相关研究工作

目前在航空应用领域,从机载软件需求的角 度来看国外的相关理论、技术和工具的发展情况, 大致可以分为如下4类。(1)从实际安全关键系统 的开发工程经验中形成的理论与技术,如:四变量 理论模型[21]、SCR (Software cost reduction)方 法[27-28]、T-VEC工具[29]等。(2)从通用的软件工程 领域产生的软件需求规约方法,如:统一建模语言 UML^[30-31]中的用例(UseCase)模型的需求捕获与 描述方法以及StateCharts状态机模型[32]、从UML 扩展而来的系统建模语言 SysML[33]中用于描述 系统需求的参数模型,其典型的工具包括Raphsody^[34]、Statmate^[35]等。(3)从电子硬件系统设计的 同步数据流语言发展而来的需求建模与代码生成 技术,如:MATLAB公司的Simulink工具[36]、基 于 Esterel 技术的 SCADE 工具[37]等。其他一部分 面向自然语言需求的工作包括文献[38-39],此类 工作的主要思想是通过模板化的手段将自然语言

描述的详细需求(主要是面向航天领域)转换为 AADL架构模型[40],然后通过 AADL模型的仿真 运行或者形式化验证技术来对需求进行验证分 析。此类工作并不是在需求层级上进行一致性、 完整性分析,而是转换到系统架构层级,用系统架 构来验证需求是否符合用户的功能要求。(4)以自 然语言或者采用某些特殊语义限定词的结构化自 然语言的形式来描述系统和软件需求,通常用这 类方法来描述的需求都是采用条目化的管理方 法,使用诸如DOORS之类的需求工具进行管理。 目前,在国内外的FADEC系统研制领域中,仍然 是以条目化自然语言的描述方式来描述复杂的需 求内容。相较于同类验证工具,ART通过二维表 格进行需求预处理,显著减少了人工输入工作量; 同时,其引入的多范式分析方法能够对需求的完 整性和一致性进行全面检验,有效识别了原始需 求中的歧义问题。

3 FADEC-SFC 软件需求的形式化 建模与分析

本节以FADEC系统的起动燃油控制(Start fuel control, SFC)需求为研究对象,对VRM的需求进行形式化建模与分析,然后在后续的第4节中继续开展测试用例的生成工作。本节内容主要包括:首先对条目化的需求进行预处理,提取核心概念,建立FADEC领域概念库作为建模基准;随后基于VRM模型的规范,对需求进行规范化表达,构建形式化需求模型;然后对形式化需求模型进行分析,检查原始需求中可能存在的完整性与一致性问题。

图 3 给出了 SFC 系统的架构。 SFC 软件系统 承担着发动机起动阶段多模态协调控制的核心功能。该系统的目的是实现发动机起动过程的性能 优化与可靠性保障,其运行效能直接影响发动机起 动成功率、燃油消耗及排放指标。

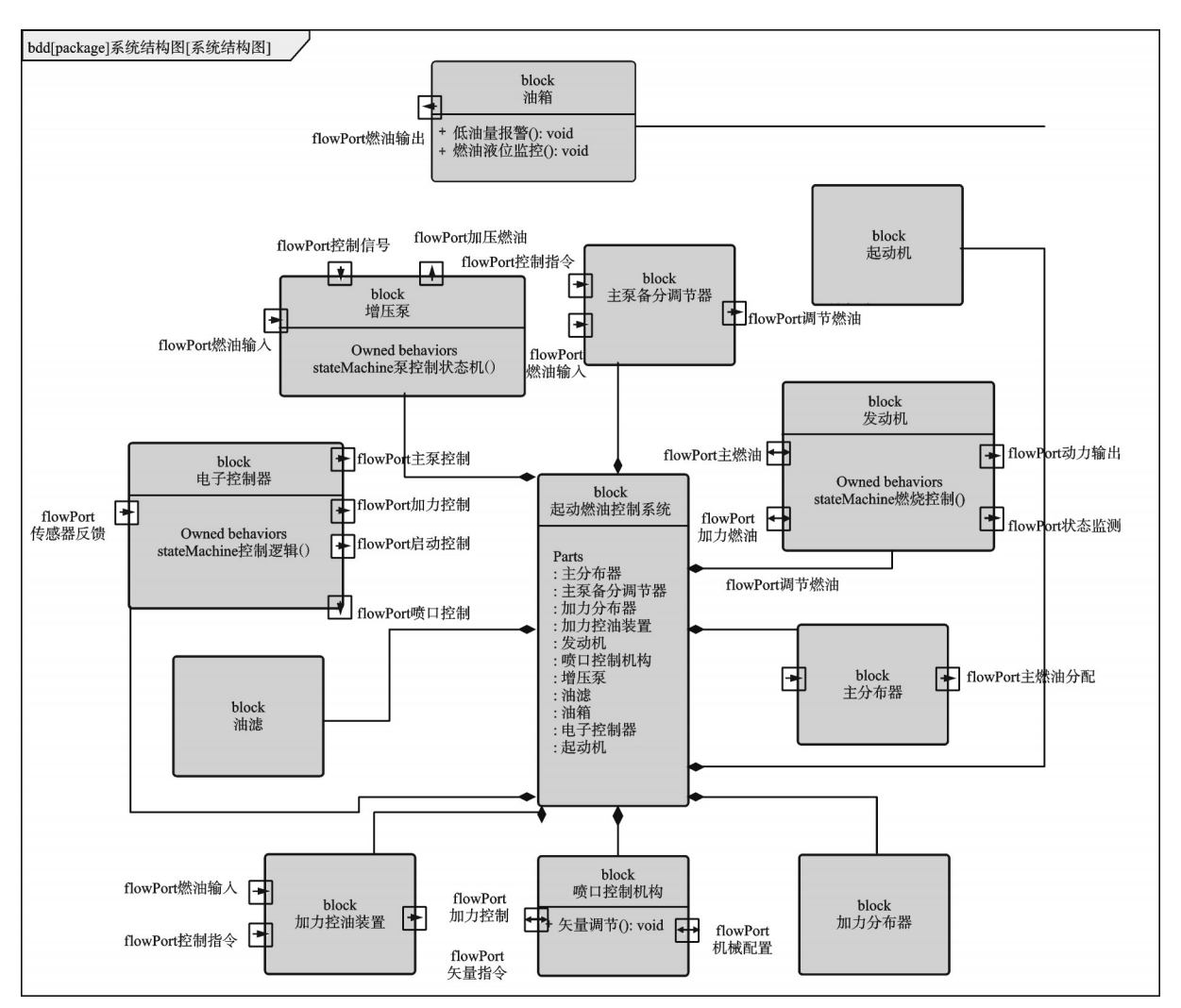


图 3 起动燃油控制系统结构图

Fig.3 Structure diagram of the starting fuel control system

809

总体上,燃油控制系统起动流程分为4个阶段:首先由油泵建立燃油压力,抽取油箱燃油加压至系统管路,形成稳定喷射所需憋压;随后燃油持续填充至总管储备,确保后续供油响应速度;当发动机转速达到阈值且点火信号触发时,系统向气缸喷射定量燃油,形成空燃混合气;最终在发动机稳定运行后切换闭环模式,通过氧传感器实时反馈燃烧数据,动态修正喷油脉宽以维持最佳空燃比,实现排放与效能的平衡控制。这些阶段过程都由SFC功能模块进行控制。

3.1 条目化需求的预处理

在目前的FADEC需求验证系统工程实践中,是以条目化的自然语言形式来描述软件的需求内容,但是自然语言描述的需求存在结构化语义不足和二义性等潜在问题,这难以满足FADEC软件对安全关键需求的要求。因此,首先需要对自然语言描述的需求进行处理,规范化VRM建模元素,构建可复用的领域概念库,其处理流程如图4所示[23]。

表1中给出了经初步规范化处理的 SFC 软件需求的部分条目示例。根据 VRM 形式化模型中基于模式转换触发机制与状态保持特征,提出基于需求语义的条目分类方法:模式转换型需求、条件型需求和事件型需求。例如:(1)需求 771 因包含"第二阶段供油→第三阶段供油"的显式模态迁移,归为模式转换型;(2)需求 768 规定 Speed Rate <

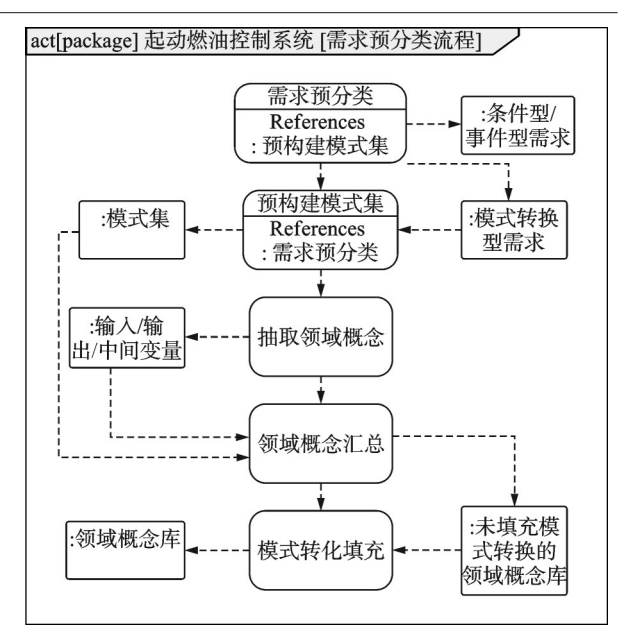


图 4 需求的预处理流程框架

Fig.4 Preprocessing framework for requirements

7% 时需保持油针最小位置与电磁阀接通状态,划为条件型;(3)需求770要求Speed_Rate \geq 7% 时断开电磁阀,因其触发条件依赖前序状态(Speed_Rate<7%)的迁移过程,应定义为事件型。对表1进行分类后,结果如表2所示。

根据模式转换型需求,进行模式集的预构建。 VRM 领域概念库中允许建立多个模式集,每个模式集的定义为

 $M = \langle \text{name, Modes, Conversions} \rangle$ (1)

表 1 SFC 需求条目示例
Table 1 Examples of SFC requirement items

	Table 1 Examples of SFC requirement items
编号	需求内容
768	Speed_Threshold未达到7%前,必须将油针关闭在最小位置且接通停车电磁阀。
770	若 Speed_Threshold > 20%,必须断开停车电磁阀。
779	若 Speed_Threshold≥20%,必须按25 kg/h的流量进行燃料主路充填。
771	若 Speed _ Threshold \geq 20% 持续时间达到 $1 \mathrm{s}$ 或 Speed _ Threshold \geq 25% , 则第二阶段供油结束 , 必须进行第三阶段供油。
781	必须根据 Speed_Threshold 转速进行开环基准流量的计算。
783	必须根据Tempt和Pressure对基准流量进行修正。
789	必须根据Tempt修正系数对基准流量进行修正。
791	必须根据Pressure修正系数对基准流量进行修正。
793	必须根据起动时刻tExhauststart和Pressure_Inlet计算热机修正系数,对基准流量进行修正。
800	必须根据 Speed_Threshold 计算 SpeedGradient 基准。
802	必须根据 Temp 和 Pressure_Inlet 对 SpeedGradient 基准进行修正。
804	必须根据 Pressure_Inlet 对 SpeedGradient 基准进行修正。
806	必须根据 Temp_Inlet 修正系数对 SpeedGradient 基准进行修正。
807	通讯模式 1 或通讯模式 3 时,必须 [SHALL]对 Pressure_Inlet 信号进行极值故障诊断。极值故障诊断方法见信号极值故障诊断方法。
808	必须[SHALL]采用通讯的总线连续信号的表决要求进行Pressure_Inlet信号的表决。表决方法见信号表决方法章节。

必须[SHALL]按"信号处理概述"的要求判断双通道Pressure Inlet故障。

表2 SFC示例需求分类

Table 2 SFC sample requirement classification

编号	需求类型
768	条件型需求
770	事件性需求
779	事件性需求
771	模式转换型需求
781	条件型需求
783	条件型需求
789	条件型需求
791	条件型需求
793	条件型需求
797	模式转换型需求
800	条件型需求
802	条件型需求
804	条件型需求
806	条件型需求
807	事件性需求
808	事件性需求
809	事件性需求

本阶段通过需求解析提取离散模式实例,并建立模式集合。需指出的是,此时因未完成变量抽取与约束推导,Conversions中模式迁移规则暂未实例化。

以 SFC 系统的供油控制需求(需求 779/771/797)为例,构建模式集 mFuelControl,其包含 3 个基础工作模式:预压调节(m_1)、燃料主路充填(m_2)和燃烧初始化供油(m_3)。通过需求文本解析,明确各模式的定义边界,但模式间迁移规则(如 $m_2 \rightarrow m_3$ 的触发条件)尚未实例化,需通过后续变量关联分析完成动态行为映射。

根据原始需求文档的特征,将需求条目里的建模元素继续划分为输入变量、中间变量与输出变量3类。其中输入变量通过提取需求前提中独立存在且未被其他需求引用的参数确定,例如需求768~781中的Speed_Rate参数,用于表征系统外部输入接口;输出变量依据跨系统交互特征定义,如需求800涉及的Speed_Gradient参数,反映系统对外部组件的控制指令;中间变量则服务于复杂逻辑解耦,例如需求797通过定义tDelta_Exhaust=TExhaust-TExhaustStart简化温升阈值条件。最终所构建的SFC示例的变量字典与数据类型映射关系如表3所示。

在完成变量抽取的基础上,对预定义模式集的 迁移规则进行动态回填。以mFuelControl模式集 为例:

表 3 SFC 系统领域概念库建模元素

Table 3 Modeling elements of the SFC system domain concept library

Model标识	物理名称	类别	数据 类型
Speed_Threshold	Speed_Threshold 信号	输入	Float
$Temp_Inlet$	Temp_Inlet信号有效值	输入	Float
Pressure_Inlet	Pressure_Inlet信号有效值	输入	Float
tExhaust	tExhaust信号有效值	输入	Float
tExhaustStart	起动时刻tExhaust	输入	Float
Temp_InletStart	起动时刻Temp_Inlet	输入	Float
Pressure_InletStart	起动时刻Pressure_Inlet	输入	Float
FuelFlow_Setpoint	起动燃油流量给定值	输出	Float
SpeedGradient	起动 SpeedGradient 值	输出	Float
tDiff_Exhaust	tExhaust当前与初始的差	中间	Float
tFuelFlow_P1	FuelFlow_SetpointKt参数	中间	Float
tFuelFlow_P2	FuelFlow_SetpointKp参数	中间	Float

 m_1 (预压调节) $\rightarrow m_2$ (燃料主路充填)的迁移由需求 779 触发,转换条件回填至输入变量ipSpeed_Rate $\geqslant 20\%$;

 $m_2 \rightarrow m_3$ (燃烧初始化供油)的迁移规则源于需求 771,通 过逻辑析取表达式 (ipSpeed_Rate \geqslant 20 \land ipTimerSpeed \geqslant 1) \lor (ipSpeed_Rate \geqslant 25) 实现,其中ipTimerSpeed_Rate 代表了 Speed_Rate \geqslant 20%的持续时间。

3.2 需求的规范化处理

将上述所得到的自然语言条目需求继续进行 VRM 模型的形式化和规范化处理。在这个过程中,主要考虑条件型映射(F_c)与事件型映射(F_E) 两类情况。

(1)条件型需求的规范化模板定义为

 F_{c} : $\langle \text{condition} \rangle \Rightarrow \langle \text{subject} \rangle := \langle \text{value} \rangle$ (2) 式中:subject 为受控变量主体,value 为基于变量值 域的目标赋值,condition 为触发赋值的先决条件。

以需求768为例,其自然语言描述 "Speed_Rate未达到20%前,必须将油针关闭在最小位置且接通停车电磁阀"被解构为两条独立的条件映射规则,规范化结果如表4所示。

(2)事件型需求的规范化模板定义为

$$F_{\mathbf{E}}:\langle \text{event} \rangle \Rightarrow \langle \text{subject} \rangle := \langle \text{value} \rangle$$
 (3)

表 4 需求768规范化结果

Table 4 Standardization results of requirement 768

Condition	Subject	Value
· C 1 771 1 11 < 00	opFuelFlow_Setpoint	0
ipSpeed_Threshold<20	$opCLM_bStopValueCmd$	True

式中 event 采用 Event / Guard 形式描述状态迁移过程:

@T: 状态由假变真(prev(cond)=False∧cond=True);

@F:状态由真变假(prev(cond)=Ture/\
cond=False);

@C:状态发生改变(prev(cond)≠cond)。

以需求 770 为例,其描述"Speed_Threshold≥ 20% 时断开停车电磁阀"的事件逻辑解析为 @T(ipSpeed_Rate≥20)≡ prev(ipSpeed_Rate< 20) \land (ipSpeed Rate \geqslant 20)

需求770规范化处理结果如表5所示。基于条件映射与事件映射规则,对SFC系统的核心需求进行规范化表达,生成VRM规范化模型。表6给出了部分结果。

表 5 需求 770 规范化处理结果

Table 5 Standardization results of requirement 770

Event	Subject	Value
@T(ipSpeed_Threshold≥	opCLM_bStopValue	False
20)	Cmd	1 alse

表 6 SFC 系统需求规范化处理部分结果

Table 6 Partial results of standardization processing for SFC system requirements

编号	形式化语言描述
791	当满足以下条件,tMid_FuelFlow_P2应能够设置为Expression(A)
793	当满足以下条件,tCompensation_Factor应能够设置为Expression(B)
797	当满足以下条件,tCompensation_Factor应能够设置为表达式Expression(C) 当满足以下条件,tCompensation_Factor应能够设置为表达式Expression(D) 当满足以下条件,tFactor应能够设置为Expression(E)
800	当满足以下条件,tMid_StartSpeedGradientDem 应能够设置表达式 Expression(F)
802	当满足以下条件,tMid_StartSpeedGradientDem应能够设置为Expression(G)
804	当满足以下条件,tMid_FuelFlow_P2应能够设置为Expression(H)
806	当满足以下条件,tMid_SpeedGradientDemKt应能够设置为Expression(I)

3.3 SFC需求模型的形式化分析

在前面工作的基础上,基于ART平台对所建立的需求形式化VRM模型进行分析,对SFC示例模型进行多范式的模型分析^[15,23]。第1轮次分析的结果显示共存在31处需求缺陷,其中一部分结果如表7所示。

对上述分析的初步结果进一步归类总结,其统 计结果如表8所示。在获取到这些形式化分析的

表 7 SFC 系统建模分析部分错误类型
Table 7 Parts of error types in SFC system modeling and analysis

序号	错误类型
错误1	错误类型:第一范式检查,违反输入完整性
错误2	错误类型:第四范式检查,缺失输出值
错误3	错误类型:第二范式检查,违反条件完整性
错误4	错误类型:第四范式检查,缺失输出值
错误5	错误类型:第四范式检查,输出值有误
错误6	错误类型:第二范式检查,违反条件完整性
错误7	错误类型:第四范式检查,缺失输出值
错误8	错误类型:第四范式检查,输出值有误
错误9	错误类型:第二范式检查,违反条件完整性
错误10	错误类型:第四范式检查,缺失输出值
错误11	错误类型:第四范式检查,输出值有误
错误12	错误类型:第二范式检查,违反条件完整性

表8 SFC需求模型分析结果统计

Table 8 Statistical analysis results of the SFC requirement model

统计项目	数量
基本范式错误	0
输入完整性错误(第一范式)	1
条件一致性错误(第二范式)	10
事件一致性错误(第三范式)	0
输出完整性错误(第四范式)	20
输出完整性错误(第四范式)	20

错误信息之后,继续根据领域工程背景和条目化需求描述的语义,与工程人员进一步确认这些错误的真正含义,并对错误原因进行分析,修改和调整原始需求条目的描述内容。表9和10分别给出了错误12和错误28的反馈分析结果。

表 9 错误 12 详细信息

Table 9 Detailed information of error 12

错误类型:第二范式检查,违反条件完整性错误定位:表格tMid_ke

错误内容: 当变量取值为下表任意一行的组合时输出变量 无值

tExh	naustStart	Pressure_Inlet	Temp_Exhaust	Mode
(-2)	2000,13)	(-2000,0.08)	(-2000,13)	M1
(-2)	2000,13)	(-2000,0.08)	(13,2000)	M2
(-2)	2000,13)	0.08	(13,2000)	M4

表 10 错误 28 详细信息

Table 10 Detailed information of error 28

错误类型:第四范式检查,输出完整性错误 错误定位:表格opSpeedGradientDem 错误内容:该表格变量值域中的值500、2000未在表中任何一行取得

表 9 指出 tMid_ke 未覆盖所有的输出情况,需求 793 仅提出了在 Exhaust_Start≥13 且 Pressure_Inlet≥0.08时 tMid_ke 的取值情况,而忽略了其他输入情况时,tMid_ke 应该如何取值,因此不满足条件完整性。根据条件完整性的要求,该需求应当做如下修改:

 $\texttt{Temp_ExhaustStart} \! < \! 13 \, \texttt{\^{C},tMid_ke} \! = \! A$

Temp_ExhaustStart \ge 13 °C \sqsubseteq Pressure_Inlet < 0.08,tMid ke = B

Temp_ExhaustStart \geqslant 13 °C \boxplus Pressure_Inlet \geqslant 0.08,tMid_ke = C

此时可覆盖tMid_ke的所有输入组合情况,可满足条件完整性。

表 10 指出输出变量 opSpeedGradientDem 的 取值[500,2000]无法在现有的输入组合中取到, 追溯到需求中,该变量的取值方式如下

 $[opSpeedGradientDem] = Mid_ke \times$

 $Int_FuelFlow_P1 \times Int_FuelFlow_P2 \times \\ [Pressure_Inlet]/0.1013 \qquad (4)$

该变量根据表达式取值,在所有的输入组合中均无法取到该变量的所有输出值,因此无法满足输出完整性要求。修改方式如下:根据需求修改该变量的值域,使其所有的数值都可以取到。经过上述错误反馈分析以及需求条目修改调整的过程,得到了一个修改版本的条目化需求文档。基于这个新版本的需求内容,展开后续轮次的需求模型形式化分析,直至在形式化分析结果中不再包括错误信息。

总体来看,通过对SFC软件需求进行形式化建模与分析,可将发现的需求缺陷归为以下两类:

(1)需求完整性缺陷。主要表现为变量状态覆盖不全与边界条件缺失。例如:错误12中,原始需求未描述tMid_ke在其他输入组合下应当如何取值;错误28中,原始需求未覆盖输出变量所有的输出值。

(2)需求一致性缺陷。由于原始需求文档对需求主体的描述过于分散,且数量庞大,可能会出现前后矛盾的问题。如错误5中,有两条冲突的需求,在同样的条件下对输出变量opSpeedGradient-

Dem 定义了不同的输出,因此要对原始需求进行完善,从而满足需求一致性要求。

4 FADEC-SFC 需求的测试用例自 动生成

在本文所建立的FADEC-SFC需求形式化模型基础上,展开基于模型的测试用例自动化生成。下面以SFC中的输出变量opFuelFlow_Setpoint的处理逻辑需求为例,给出基于机载安全关键软件MC/DC(修正判定/条件覆盖)准则的测试用例过程的说明。表11所示为opFuelFlow_Setpoint以条目化需求描述的处理逻辑。

表 11 opFuelFlow_Setpoint 计算流程
Table 11 Calculation process of opFuelFlow_Setpoint

FuelFlow_Setpoint 计算流程

(1)[Speed_Threshold]>=35% || ([tExhaust]-[tExhaustStart])>=50℃,则[状态1_起动开环供油][无效], [状态1_起动闭环供油][有效]

(2)[状态1_起动开环供油][有效]时,且[tExhaustStart] <13℃,则[FuelFlow_Setpoint]= Expression(A)

(3)[状态1_起动开环供油][有效]时,且[tExhaustStart] ≥13℃&&.[Pressure_InletStart]<0.08 MPa,则[Fuel-Flow_Setpoint]= Expression(B)

(4)[状态1_起动开环供油][有效]时,且[tExhaustStart] ≥13℃&&.[Pressure_InletStart]>=0.08 MPa,则 [Mid_ke]= Expression(C)

对需求中所涉及的各类变量类型进行提取和 归类,按第3节流程对需求进行预处理后,该需求 的输入变量如表12所示。

表 12 opFuelFlow_Setpoint需求输入变量
Table 12 Input variables for opFuelFlow_Setpoint requirements

变量名	类型	值域	描述
Speed_Threshold	Float	[0,120]	发动机转速
tExhaustStart	Float	[0,1000]	tExhaust起始温度
Pressure_InletStart	Float	[0,1000]]	Pressure_Inlet起始压强
$Temp_Inlet$	Float	[0,1000]	Temp_Inlet温度
Pressure_Inlet	Float	[0,1000]	Pressure_Inlet 压强
tExhaust	Float	[0,1000]	tExhaust 温度

表 12中6个外部输入变量通过双重作用机制影响输出变量 opFuelFlow_Setpoint 的计算逻辑,例如 Speed_Threshold、tExhaustStart、Pressure_InletStart影响 opFuelFlow_Setpoint 的计算应该采用哪个表达式,而 Temp_Inlet、Pressure_Inlet 影响 opFuelFlow_Setpoint表达式中的具体数值。

如表 13 所示,根据需求特征设计 4 个中间变量,其取值也来自系统的输入变量。为了防止混乱,本文不再展开这些中间变量的计算逻辑。

表 13 opFuelFlow_Setpoint需求中间变量

Table 13 Intermediate variables for opFuelFlow_Setpoint requirements

变量名	类型	值域	描述
StartWfm0	Float	[0,120]	Wfm0Dem基准值
$FuelFlow_P1$	Float	[0,1000]	根据Temp_Inlet得到
OpenWfmKp1	Float	[0,1000]	根据Pressure_Inlet得到
Midke	Float	[0,1000]	根据tExhaustStart得到
OpenFlag	Bool	{0,1}	起动开环供油

基于需求文档解析生成的 opFuelFlow_Setpoint 条件映射规则如表 14 所示,其通过逻辑分层 结构将自然语言需求转化为形式化约束表达式。为简化例子复杂度,采用符号 A 、B 、C 代替原有表达式: A 代表 FuelFlowInit(A), B 代表 k1*Pressure_InletStart+k2(B), C 代表 FuelFlow_Nominal(C)。

表 14 opFuelFlow_Setpoint 取值流程表
Table 14 Value process table for opFuelFlow_Setpoint

条件	输出取值
OpenFlag=1 and tStart<13	A
OpenFlag=1 and tStart≥13 and Pressure_InletStart<0.08	В
OpenFlag=1 and tStart≥13 and PressuretStart≥0.08	C
OpenFlag=0	0

为了生成测试路径集,本文通过解析条件表,构建了opFuelFlow_Setpoint信号的需求语义树,如图5所示,其判定逻辑包含两个核心维度:

(1) 状态标识判定模块。通过Speed_Rate、Temp_Exhaust与Temp_ExhaustStart参数确定OpenFlag状态标识的布尔取值,建立设备启闭状态判定规则。

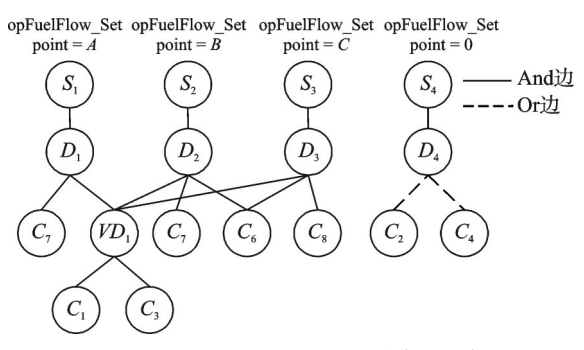


图 5 opFuelFlow_Setpoint需求语义树 Fig.5 opFuelFlow_Setpoint requirement semantic tree

(2)输出信号生成模块。在此基础上,结合 Temp_ExhaustStart 与 Pressure_InletStart 参数推 导出 opFuelFlow_Setpoint 输出变量的逻辑表达式,形成信号生成机制。

根据需求语义树节点定义规范,各节点类型的功能说明如表15所示。

表 15 opFuelFlow_Setpoint需求语义树变量表

Table 15 Semantic tree variable table for opFuelFlow_Setpoint requirements

变量名	含义
C_1	Speed_Threshold<35
C_2	Speed_Threshold≥35
C_3	tExhaust-tExhaustStart<50
C_4	tExhaust-tExhaustStart \geqslant 50
C_5	tExhaustStart<13
$C_{\scriptscriptstyle 6}$	tExhaustStart≥13
C_7	Pressure_InletStart<0.08
C_8	Pressure_InletStart≥0.08
VD_1	OpenFlag=1
D_1	$OpenFlag = 1 \ and \ tExhaustStart{<}13$
D_2	OpenFlag= 1 and tExhaustStart≥13 and Pressure_InletStart<0.08
D_3	OpenFlag= 1 and tExhaustStart≥13 and Pressure_InletStart≥0.08
D_4	OpenFlag = 0
S_1	${\it opFuelFlow_Setpoint} = A$
$S_{\scriptscriptstyle 2}$	$opFuelFlow_Setpoint = B$
S_3	$opFuelFlow_Setpoint = C$
S_4	$opFuelFlow_Setpoint = 0$

- (1)语句节点(S):对应需求中的结果声明部分,如 S_1 节点描述输出表达式 opFuelFlow_Setpoint=A;
- (2)判定节点(D):表征复合逻辑条件,如 D_1 节点定义联合条件 OpenFlag=1 and Temp_ExhaustStart<13:
- (3)判定子节点(VD):解析中间变量状态,如 VD_1 节点判定 OpenFlag = 1;
- (4)条件节点(C):描述不可拆分原子条件,如 C_1 节点对应阈值约束 Speed_Rate \geq 35。

基于需求语义树结构,通过遍历算法可生成满足 MC/DC 准则的测试用例覆盖路径集合。遍历过程中由根节点至叶节点生成全条件组合路径(如 $D_1 \rightarrow VD_1 \rightarrow C_1 \rightarrow S_1$),其路径集完整覆盖各原子条件节点(C类节点)的真/假独立作用场景,如表16 所示。其中: X_1 为 Speed_Threshold, X_2 为 tExhaustStart, X_3 为 tExhaust, X_4 为 |tExhaustStart —

tExhaust $|, X_5$ 为 Pressure_InletStart, X_6 为 Open-Flag, X_7 为 opFuelFlow_Setpoint。

表 16 opFuelFlow_Setpoint 变量测试用例集
Table 16 Test case set for opFuelFlow Setpoint variables

序号	输入变量					中间变量 输出变量		
かち	X_1	X_2	X_3	X_4	$X_{\scriptscriptstyle 5}$	$X_{\scriptscriptstyle 6}$	X_7	
1	35	25	12	13	0.01	0	0	
2	32	12	15	3	0.01	1	A	
3	30	13	10	3	0.01	1	B	
4	28	20	28	8	0.08	1	C	
5	26	25	80	55	0.01	0	0	

本文工作基于模型驱动的自动化测试框架实现了上述测试用例生成流程,如图6所示。



图 6 VRM模型测试用例自动生成流程

Fig.6 Automated generation process for VRM model test case

自动生成流程可分为3个阶段:(1)通过ART平台将VRM需求模型转换为标准化XML中间文件,构建机器可解析输入;测试用例生成模块解析XML模型并执行自动生成算法,例如针对op-SpeedGradient信号,依据输入参数ipSpeed_Rate、ipTemp_Inlet与ipT4550的等价类划分生成7组独

立测试用例,每组用例对应特定输入组合的预期输出验证规则;最后系统输出 SFC 控制模块全量测试用例共 166条,覆盖了中间变量和输出变量的所有测试路径,如表 17 所示。

表 17 测试用例生成条目 Table 17 Generation entries for test case

类型	变量名称	测试用例数
	tFuelFlow_P1	23
	tFuelFlow_P2	11
中间变量	tStartup_FuelFlow_Setpoint	44
中内文里	$tMid_ke$	23
	tMid_Startup_Gradient	11
	$tMid_SpeedGradientP1$	11
	op W fm Dem	24
输出变量	opFuelFlow_Setpoint	4
	StartFuelControl	15

图 7 给出了单条用例的结构描述,用例格式针对自动化执行规程而设计,主要包含 3 部分,分别是测试用例信息描述、设置初值和验证输出。信息描述介绍该用例的id 与测试变量;设置初值代表是为了初始化变量,防止引用时变量为空;最后验证方法使用关键词 Verify,由测试脚本判断最终答案。这个例子展示了中间变量 tFuelFlow_P1 根据输入变量 ipTemp_Inlet 的取值,验证该变量的输出是否为 0.33 × ipTemp-4.32。未来的工作中,可以使用测试脚本自动读取测试用例进行测试,完成测试用例执行工作。

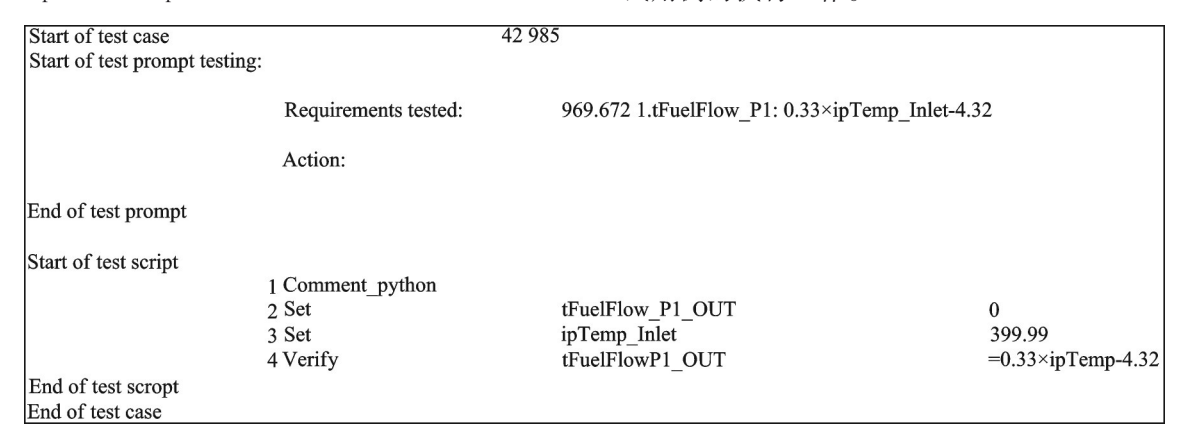


图7 SFC系统测试用例

Fig.7 SFC system test cases

5 对 FADEC-SFC 实例研究的其他 分析

上文给出了本研究工作面向SFC控制系统需求所展开的全流程形式化建模、分析与测试用例生成的完整实例流程。在此过程中,本文还对过程中

所遇到的一些其他问题进行考虑和分析,限于篇幅,简要描述如下。

(1)针对双通道架构的冗余信号容错机制,本 文基于需求规范提出一种异构信号重构算法,如算 法1所示。当通道1的N1信号失效时,系统通过 通道2的N2与T2参数跨通道信号融合,实现失效 信号的动态重构与状态恢复。

算法1 N1信号重构方法

输入:N2,T2

输出:N1

- (1) if T2_Dual_Fault = false:
- (2) N1 = Reconstruction (T2)
- (3) else if T2 Dual Fault = true:
- (4) if (T1_other_Communication_Fault = false)

N1=Reconstruction (Reconstruction (T1_other))

(5) else if H_SL_Dual_Fault = false&Ma_Dual_Fault = false:

 $\label{eq:N1} N1 = Reconstruction(Reconstruction $$(H_SL,Ma))$$

(6) else if P0_Dual_Fault = false && Ma Dual Fault = false

N1 = Reconstruction((Reconstruction(P0), Ma))

(7) else:

N1=N1 Pre

根据第3节的需求规范化转换流程,结果如表 18所示。

表 18 N1信号重构需求规范化表示

Table 18 Standardized representation of N1 signal reconstruction requirements

N1信号重构方法规范化表示

- (1)N1 = reconstruction (T2) 当满足以下条件:tv_T2 failure = False;
- (2)N1 = reconstruction (reconstruction (T1_other)) 当满足以下条件: tv_T2 failure = False and tv_T1_other_communication failure = False;
- (3)N1 = reconstruction (reconstruction (H_SL, Ma)) 当满足以下条件: tv_T2 failure = False and tv_T1_other_communication_failure = True;
- (4)N1 = reconstruction (reconstruction (P0, Ma)) 当满足以下条件: tv_T2 failure = False and tv_P0_communication_failure = False;
- (5)N1 = pre_N1 当满足以下条件: tv_T2 failure = False and tv_P0_communication_failure = True。

(2)双通道冗余信号输入至控制模块时需执行多源异构信号实时仲裁机制。如表19所示,系统支持3类表决方法:基于通道自诊断的状态表决、跨通道输出结果对比表决以及混合式动态表决架构。

本文采用混合式动态表决架构,基于通道健康

表 19 信号表决方式

Table 19 Signal voting method

表决方式	表决特点
基于诊断的	当任一通道检测到自身故障时,表决逻辑会
通道表决	立即切换到另一正常通道继续运行。
加速送件用	两个通道实时输出信号通过比较器进行同步
双通道结果	比对,若结果一致则输出有效信号,若出现差
比对表决	异则触发诊断流程。
2H A = 12	根据通道健康状态动态调整表决权重:
混合式	①正常状态:双通道等权表决;
表决架构	②单通道诊断异常:切换为单通道主导模式。

状态而进行动态权重分配策略,如表 19 所示。该架构通过多模态切换逻辑实现信号仲裁优化:双通道有效时执行等权重仲裁;单通道诊断异常时切换至健康通道主导模式;双通道同步失效时激活末态保持机制。如算法 2 所示,表决系统依据实时诊断状态自适应调整仲裁模式,并通过阈值约束机制确保权重切换过程满足航空控制系统的时序确定性要求。

算法2 双通道表决方法

输入:S1,S2,pre_Vote

输出:Vote

If (S1_flag = true and S2_flag = true):

If(abs(S1-S2)> Speed_Threshold value):Vote = S1

 $Else\ Vote = average(S1,S2)$

Else if(S1_flag = false and S2_flag = true):Vote = S2; Else if(S2_flag = false and S1_flag = true):Vote = S1; Else: Vote = pre_Vote

[SetPoint] = $K_e \times \text{StartSetpoint} \times K_t \times K_p \times$

$$\frac{[\text{Pressure}]}{0.1013} \times \text{Sqrt} \left(\frac{288.15}{[\text{Temp}] + 273.15} \right) \tag{5}$$

式中:SetPoint 为输出变量, K。为温度修正参数,

StartSetpoint 为输出变量初始值, K_1 为温度修正系数, K_p 为压强修正系数;Pressure 为部件压强,Temp为部件温度。

(4)针对浮点型变量的形式化建模与分析,本文采用基于离散化状态转换的需求分析范式^[26]。相较于布尔型变量的二值空间,浮点型变量的连续值域会导致状态空间爆炸问题,需解决值域完整性覆盖与多变量输入组合合法性两类问题。本文采用了离散枚举映射方法,将浮点输出变量离散化为

Enum 型变量,其枚举值数量与需求文档中赋值表 达式种类严格对应;当输入参数满足特定约束时, 输出变量被唯一映射至对应枚举值。

(5)FADEC 系统的燃油控制逻辑中存在部分基于插值计算的核心需求,如表 20 所示。此类需求针对多维参数空间(如转速 Speed_Rate、进气温度 Temp_Inlet 和压力 Pressure_Inlet)定义离散化的基准流量映射关系,并通过线性插值策略实现连续工况点的动态修正计算。

表 20 插值表计算相关需求

Table 20 Requirements related to interpolation table calculation

序号	需求内容
781	必须根据 Speed_Threshold 转速进行开环基准流量的计算。
789	必须根据Temp修正系数对基准流量进行修正。修正系数根据Temp线性插值。
791	必须根据 Pressure_Inlet 修正系数对基准流量进行修正。修正系数根据 Pressure_Inlet 线性插值。
781	必须根据 Speed_Threshold 转速进行开环基准流量的计算。

以燃油温度修正系数 K_1 计算需求(需求 789) 为例,表 21定义了进气温度 $Temp_I$ Inlet 与修正系数的离散映射关系,本文对比分析了两种插值方法。

表 21 Temp_Inlet-K_t插值表
Table 21 Temp_Inlet-K_t interpolation table

Temp_ Inlet	200	220	240	260	300	320	340	370	400
$K_{\scriptscriptstyle m t}$	1	2	3	4	5	6	7	8	9

(1)拉格朗日多项式插值法。通过构建经过所有离散点(如表 21 中 $Temp_I Inlet-K_t$ 标定点)的高阶连续多项式实现插值计算,其数学表达式如式(6)所示。对某个多项式函数,已知给定的 k+1 个取值点,有

$$L(x) = \sum_{i=0}^{k} y_i l_i(x) \tag{6}$$

式中:L(x)为插值多项式,k代表已知数据点的最大索引;j代表循环变量, y_j 代表第j个已知数据点的函数值; $l_j(x)$ 代表拉格朗日基函数。

该方法虽能严格遍历所有标定点,但随标定点 数量增加将生成高次多项式,导致计算复杂度呈指 数级增长,难以满足航发控制系统的实时性要求。

(2)分段线性插值法。采用相邻标定点间的 线性关系进行插值计算,其表达式如下

$$y = y_0 + \frac{(x - x_0) \cdot (y_1 - y_0)}{x_1 - x_0} \tag{7}$$

式中:x和y为待求的变量,其中x为给定的自变量(位于 x_0 和 x_1 之间),y为需要计算的插值结果; x_0

和 y_0 为第1个已知点的横、纵坐标,代表计算的起始基准; x_1 和 y_1 为第2个已知点的横、纵坐标。

该方法计算效率较拉格朗日插值法更高,且插值结果与工程实测数据的平均误差符合工程实际需求。经与控制系统工程师协同验证,最终选定线性插值作为以上插值表的计算方法。

6 结 论

本文面向大飞机 FADEC 软件系统的测试验证问题,采用变量关系模型对一个典型的FADEC-SFC系统软件需求实例进行形式化建模,提出了一个对FADEC 软件需求从形式化建模、分析到基于模型测试用例生成的技术框架;展开了实例分析研究,并且总结分析了对FADEC 软件需求进行建模与测试的工程经验。

下一步研究工作将围绕以下维度展开:增强 VRM建模语言对时序属性与复杂表达式的原生 支持,拓展时间自动机理论在模型分析中的应用; 开发分层建模机制以支持更大规模需求规模系统 的形式化建模与分析;完善测试脚本生成框架,实 现测试驱动文件的全自动构建流程,以形成持续迭 代工程实用方法,推动形式化方法在FAEDC系统 领域中需求建模分析等的深入应用。

参考文献:

- [1] GARG S. Aircraft turbine engine control research at NASA glenn research center[J]. Journal of Aerospace Engineering, 2013, 26(2): 422-438.
- [2] LIU J J, ZHANG Q, YU J N. Comparative statistics

- and analysis of accidents of two main types of commercial transport aviation in recent 30 years[J]. Safety & Security, 2022, 43(10): 21-28.
- [3] International Civil Aviation Organization (ICAO).
 Global aviation safety plan 2020—2022; ICA0[R].
 Montreal, Canada: [s.n.], 2020.
- [4] RTCA, EUROCAE. Software considerations in airborne systems and equipment certification: DO-178B/ED-12B[R]. Washington, DC: RTCA Inc., 1992.
- [5] RTCA. Software considerations in airborne systems and equipment certification: DO 178C[R]. Washington D C: Radio Technical Commission for Aeronautics, Inc., 2011.
- [6] LEMPIA D L, MILLER S P. Requirements engineering management findings report: DOT/FAA/AR-08/ 34[R]. Washington D C, USA: Department of Transportation, Federal Aviation Administration, 2008.
- [7] LEMPIA D L, MILLER S P. Requirements engineering management handbook: DOT/FAA/AR-08/32
 [R]. Washington DC, USA: Department of Transportation, Federal Aviation Administration, 2009.
- [8] Federal Aviation Administration. Advanced avionics handbook[M]. New York: Skyhorse Publishing, 2011.
- [9] COFER D D, MILLER S P. DO-333 certification case studies[C]//Proceedings of NASA Formal Meth ods Symposium. Berlin, Heidelberg: Springer, 2014.
- [10] COOK S C, PRATT J M. Advances in systems of systems engineering foundations and methodologies [J]. Australian Journal of Multi-Disciplinary Engineering, 2020, 17(1): 9-22.
- [11] 胡晓义, 王如平, 王鑫, 等. 基于模型的复杂系统安全性和可靠性分析技术发展综述[J]. 航空学报, 2020, 41(6): 523436.

 HU Xiaoyi, WANG Ruping, WANG Xin, et al. Recent development of safety and reliability analysis technology for model-based complex system [J]. Acta Aeronautica et Astronautica Sinica, 2020, 41(6):

523436.

- [12] KOHEN H, WENGROWICZ W, DORI D. Simulating real-life practice as a software product owner for students in a model-based systems engineering MOOC [C]//Proceedings of the 8th Kinneret Conference on Software Engineering Education.[S.l.]:[s.n.], 2020.
- [13] Radio Technical Commission for Aeronautics. DO-331 model-based development and verification supplement to DO-178C and DO-278A[M]. [S. l.]: RTCA Press, 2011.
- [14] HUI J. Research on RTCA/DO-331 standard[J]. Civil Aircraft Design & Research, 2018, 130 (3): 124-129.

- [15] 石梦烨. 基于形式化模型的系统需求与设计安全性分析方法研究[D]. 南京: 南京航空航天大学,2020. SHI Mengye. Research on system requirements and design safety analysis method based on formal model [D]. Nanjing: Nanjing University of Aeronautics and Astronautics, 2020.
- [16] 胡建成,胡军,汪文轩,等.一种面向领域自然语言需求的形式化需求模型生成方法研究[J].小型微型计算机系统,2021,42(8):1639-1648.

 HU Jiancheng, HU Jun, WANG Wenxuan, et al. Constructing formal specification models from domain specific natural language requirements[J]. Journal of Chinese Computer Systems, 2021, 42(8): 1639-1648.
- [17] WANG W X, HU J, HU J C, et al. Automatic test case generation from formal requirement model for avionics software [C] //Proceedings of the 6th Symposium on System and Software Reliability (ISSSR). Chengdu, China; IEEE, 2020; 12-20.
- [18] 高亚辉, 倪烨斌, 姜成平, 等. 航空发动机控制系统及 关键技术现状与展望[J]. 南京航空航天大学学报, 2024, 56(4): 577-596. GAO Yahui, NI Yebin, JIANG Chengping, et al. Research status and prospect of aeroengine control systems and key technologies[J]. Journal of Nanjing University of Aeronautics & Astronautics, 2024, 56(4): 577-596.
- [19] 廖忠权. 罗罗的飞行电气化之路[J]. 航空动力, 2020 (1): 16-19.

 LIAO Zhongquan. The flight electrification path of Rolls-Royce[J]. Journal of Aerospace Power, 2020 (1): 16-19.
- [20] 廖忠权. 2022世界电动系统进展[J]. 航空动力, 2023 (1): 23-26.

 LIAO Zhongquan. Electric power system progress in 2022 [J]. Journal of Aerospace Power, 2023 (1): 23-26.
- [21] PARNAS D L. Software aspects of strategic defense systems[J]. Communications of the ACM, 1985, 28 (12): 1326-1335.
- [22] LEVESON N G, HEIMDAHL M P E, HIL-DRETH H, et al. Requirements specification for process-control systems[J]. IEEE Transactions on Software Engineering, 1994, 20(9): 684-707.
- [23] 王康星, 胡军, 王立松, 等. 机载软件层次化需求的形式化建模与分析[J]. 南京航空航天大学学报(自然科学版), 2025, 57(1): 195-204.
 - WANG Kangxing, HU Jun, WANG Lisong, et al. Formal modeling and analysis method for hierarchical requirements of airborne software[J]. Journal of Nan-

- jing University of Aeronautics & Astronautics (Natural Science Edition), 2025, 57(1): 195-204.
- [24] 张漾. 基于 VRM 模型的形式化验证与测试用例生成技术研究[D]. 南京:南京航空航天大学,2022.
 ZHANG Yang. Research on formal verification and test case generation technology based on variable relational model[D]. Nanjing: Nanjing University of Aeronautics and Astronautics, 2022.
- [25] 丁鼎,胡军,王康星,等.面向航空软件需求模型的MC/DC测试用例生成方法[J].小型微型计算机系统,2025,46(7): 1783-1792.

 DING Ding, HU Jun, WANG Kangxing, et al. Modified condition/decision coverage test case generation method for aviation software requirements model[J]. Journal of Chinese Computer Systems, 2025, 46(7): 1783-1792.
- [26] 吕佳润. VRM需求模型的语义分析方法研究[D]. 南京: 南京航空航天大学, 2023.

 LV Jiarun. Research on semantic analysis method of VRM requirement model[D]. Nanjing: Nanjing University of Aeronautics and Astronautics, 2023.
- [27] HEITMEYER C L. Software cost reduction[EB/OL]. (2002-01-30). https://onlinelibrary.wiley.com/doi/10.1002/0471028959.sof307/tables.
- [28] HAGER J A. Software cost reduction methods in practice: A post-mortem analysis[J]. Journal of Systems and Software, 1991, 14(2): 67-77.
- [29] BLACKBURN M R, BUSSER R D.T-VEC: A tool for developing critical systems[C]//Proceedings of the 1Ith Annual Conference on Computer Assurance. Gaithersburg: IEEE, 1996: 237-249.
- [30] BOOCH G, RUMBAUGH J, JACOBSON I. The unified modeling language user guide[M]. Reading UK: Addison-Wesley, 1999.
- [31] FOWLER M. UML distilled: A brief guide to the standard object modeling language[M]. 3rd ed. Reading, UK: Addison-Wesley, 2003.

- [32] HAREL D. Statecharts: A visual formalism for complex systems[J]. Science of Computer Programming, 1987,8(3): 231-274.
- [33] WOLNY S, MAZAK A, CARPELLA C, et al. Thirteen years of SysML: A systematic map study[J]. Software and Systems Modeling, 2020, 19: 111-169.
- [34] GERY E, HAREL D, PALACHI E. Rhapsody: A complete life-cycle model-based development system [C]//Proceedings of the 3rd Conference on Integrated Formal Methods. Turku: Springer, 2002: 1-10.
- [35] HAREL D, LACHOVER H, NAAMAD A, et al. Statemate: A working environment for the development of complex reactive systems[J]. IEEE Transaction on Software Engineering, 1990, 16(4): 403-414.
- [36] 王正林,刘明. 精通 MATLAB[M]. 北京: 电子工业 出版社, 2011. WANG Zhenglin, LIU Ming. Proficient in MATLAB [M]. Beijing: Publishing House of Electronics Industry, 2011.
- [37] KURIAN E, BRAIONE P, BRIOLA D, et al. Automated test case generation for safety-critical software in scade[C]//Proceedings of 2023 IEEE/ACM 45th International Conference on Software Engineering: Software Engineering in Practice (ICSE-SEIP).
 [S.I.]: IEEE, 2023: 483-494.
- [38] YANG Z B, HU K, ZHAO Y W, et al. Verification of AADL models with timed abstract state machines [J]. Journal of Software, 2015, 26(2): 202-222.
- [39] WANG F, YANG Z B, HUANG Z Q, et al. Approach for generating AADL model based on restricted natural language requirement template[J]. Journal of Software, 2018, 29(8): 2350-2370.
- [40] FEILER PH, GLUCH DP, HUDAK JJ. The architecture analysis design language (AADL): An introduction[M]. Pittsburgh: Carnegie Mellon University, 2006.

(编辑:刘彦东)